

سنتر و بررسی تأثیر جایگزینی آهن بر پایداری حرارتی و خصوصیات فیزیکی نانوذرات هیدروکسی آپاتیت

سید محمد میرکاظمی، جعفر جوادپور، مهرنوش قاسمی

دانشکده مهندسی مواد و متالورژی، دانشگاه علم و صنعت ایران

mirkazemi@iust.ac.ir

چکیده:

در این پژوهش پودرهای هیدروکسی آپاتیت در مقیاس نانومتری با جایگزینی آهن (سه‌ظرفیتی) به روش هم رسوی سنتز گردید. فازهای تشکیل شده، پایداری حرارتی و مورفولوژی ذرات سنتز شده به کمک روش‌های آنالیز پراش پرتوایکس (XRD)، طیفسنجی مادون قرمز (FTIR)، میکروسکوپ الکترونی رویشی (SEM)، طیفسنجی رaman و خواص مغناطیسی توسط آنالیز مغناطیسی‌ستج نمونه مرتعش (VSM) مورد بررسی قرار گرفت. نتایج نشان داد با وارد شدن آهن در شبکه هیدروکسی آپاتیت، بلورینگی و پایداری حرارتی ساختار هیدروکسی آپاتیت کاهش می‌یابد. به طوری که در حضور ۹ درصد وزنی آهن ساختار هیدروکسی آپاتیت تا دمای ۷۰۰ درجه سانتی‌گراد پایدار است درحالی که بدون حضور آهن تا دمای ۹۰۰ درجه سانتی‌گراد پایدار می‌باشد. نتایج VSM خاصیت پارامغناطیس را در پودرهای حاوی آهن تائید نمود.

اطلاعات مقاله:

دریافت: ۱۸ اسفند ۱۳۹۳

پذیرش: ۲۵ تیر ۱۳۹۴

کلید واژه:

هیدروکسی آپاتیت، نانوذرات، آهن،
هم رسوی، پایداری حرارتی،
پارامغناطیس.

هیدروکسی آپاتیت دارای هگزاگونال بوده و فرمول شیمیایی آن به صورت $\text{Ca}_{10}(\text{PO}_4)_6(\text{OH})_2$ نوشته می‌شود. [2-3] ترکیبات مختلفی از آپاتیت به دلیل جایگزینی‌های مختلف به وجود می‌آید. این جایگزینی‌ها می‌تواند در موقعیت کاتیون‌های کلسیم، گروه فسفات و یا گروه‌های هیدروکسیل صورت پذیرد. در این پژوهش یون آهن وارد ساختار هیدروکسی آپاتیت می‌شود. آهن جایگزین شده در ساختار آپاتیت با خواص مغناطیسی می‌تواند در رهایش دارو، تصویربرداری پزشکی و درمان سرطان مورد استفاده واقع شود. یکی از روش‌های از بین بردن سلول‌های سرطانی

۱- مقدمه و مروجی بر منابع

هیدروکسی آپاتیت (HA^1) بخش معدنی استخوان را تشکیل می‌دهد و دارای خواص مطلوبی همچون پایداری، خنثی بودن شیمیایی و سازگاری زیستی است. این بیو سرامیک زیست فعال است، بدین معنی که پس از کاشت آن در بدن، بافت استخوان جدیدی بر روی آن رشد کرده و اتصال محکمی میان این نوع کاشتنی با بدن برقرار می‌شود. [1]

¹ Hydroxyapatite



جایگزینی آهن بر خصوصیات فیزیکی، پایداری حرارتی و رفتار مغناطیسی این پودرها بود.

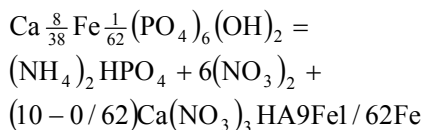
۱-۱- مواد و روش تحقیق

در این تحقیق منابع تأمین کننده یون‌های کلسیم، فسفو آهن به ترتیب نیترات کلسیم چهارآبه $(\text{NO}_3)_{2.4}\text{H}_2\text{OCa}$ ، دی‌آمونیوم هیدروژن فسفات $(\text{NH}_4)_2\text{HPO}_4$ و نیترات آهن نه‌آبه $(\text{NO}_3)_{3.9}\text{H}_2\text{O}$) بودند که همه مواد محصول شرکت مرک، با خلوص بالای ۹۹٪ می‌باشند. مقادیر موردنیاز از مواد اولیه برای سنتز ۱۰ گرم نانوپودرهای هیدروکسی آپاتیت محاسبه شد (جدول ۲). ابتدا محلول‌های ۲۵٪ مولار از نیترات کلسیم چهارآبه، دی‌آمونیوم هیدروژن فسفات و نیترات آهن نه‌آبه به تطور جداگانه تهییه و روی همزن مغناطیسی با دور ۱۲۰۰ rpm به مدت ۳۰ دقیقه کاملاً مخلوط شد. در ادامه محلول ۲۵٪ مولار نیترات آهن به محلول ۲۵٪ مولار نیترات کلسیم اضافه گردید و محلول حاصله به مدت یک ساعت روی همزن مغناطیسی هم زده شد. pH محلول دی‌آمونیوم هیدروژن فسفات، با افروزن قطره‌قطره هیدروکسید آمونیوم به ۱۱ رسانده شد و این محلول به صورت خیلی آهسته و با سرعت ۱ قطره بر ثانیه به محلول قبل که حاوی نیترات کلسیم و نیترات آهن بود، تحت سرعت بالای همزن مغناطیسی ۱۲۰۰ rpm اضافه گردید. pH محلول نهایی به ۱۱ رسانده شد و به مدت دو ساعت روی همزن مغناطیسی با دور بالا کاملاً هم خورد. بعد از گذشت دو ساعت به محلول نهایی به منظور پیرسازی ۲۴ ساعت زمان داده شد. سپس رسوب نهایی ساتریفیوژ شد و برای حذف یون‌های اضافی سه بار با آب مقطر شست و شو داده شد. کیک

بدون آسیب رساندن به سلول‌های سالم، روش هایپرترمیا است. در این روش با استفاده از نانو ذرات و گرمای حاصله از ایجاد میدان مغناطیسی قوی و هدفمند، باعث از بین بردن سلول‌های سلطانی در بدن افراد می‌شوند. نانو ذرات فلزی که دارای خواص مغناطیسی هستند مثل نانوذرات آهن، برای این امر مورداستفاده قرار می‌گیرند. مشکل استفاده از این مواد در درصدهای بالا سمی بودن آن‌ها می‌باشد.^[۴] در این پژوهش سعی شد با وارد کردن آهن در ساختار هیدروکسی آپاتیت خواص مغناطیسی و پتانسیل کاربرد آن برای روش هایپرترمیا بررسی شود. علاوه بر موارد فوق، به علت وجود عنصر آهن در استخوان و دندان، این عنصر به عنوان یکی از کاتیون‌های جایگزین مورد توجه است^[۵]. لی^۱ و همکارانش نمونه‌های هیدروکسی آپاتیت جایگزین شده با آهن (Fe^{3+}) را در درصدهای مختلف تهییه کردند و آزمون سمیت (MTT) را بر روی آن‌ها انجام دادند. تمامی نمونه‌های سنتز شده با درصدهای صفر، ۰/۰۵ و ۰/۰۱ آهن قادر به میتوانند^[۶] در پژوهش که توسط کرامر^۲ و همکارانش در سال ۲۰۱۳ انجام شد، یون‌های آهن توسط روش غوطه‌وری وارد ساختار آپاتیت شدند. به این صورت که نمونه‌ها در دو محلول فریک کلرید و فروس کلرید برای مدت زمان‌های معینی خیسانده شدند. نتایج EDX نشان داد نمونه‌های خیسانده شده در محلول فریک کلرید حاوی یون‌های بیشتری آهن هستند و نتایج VSM رفتار پارامغناطیسی پودرها را تائید نمود.^[۷] هدف از انجام این تحقیق سنتز پودرهای هیدروکسی آپاتیت در مقیاس نانومتری با درصدهای مختلف آهن و بررسی تأثیر

¹ LiYan

² Erika R. Kramer



جدول ۲- مقادیر محاسبه شده برای سنتز نانوپودرهای هیدروکسی آپاتیت

نمونه‌ها	$\text{Ca}(\text{NO}_3)_2 \cdot 4\text{H}_2\text{O}$ (gr)	$(\text{NH}_4)_2\text{HPO}_4$ (gr)	$\text{Fe}(\text{NO}_3)_3 \cdot 9\text{H}_2\text{O}$ (gr)
HA	۱۶/۲۸	۷/۸۶	-
HA1Fe	۱۵/۹۹	۷/۸۶	۰/۴۳
HA3Fe	۱۵/۳۲	۷/۸۶	۱/۲۹
HA6Fe	۱۴/۳۳	۷/۸۶	۲/۵۸
HA9Fe	۱۳/۳۵	۷/۸۶	۳/۸۷

۲-۱ آزمون‌ها

شناسایی فازهای موجود، میزان بلورینگی، حجم سلول واحد و تخمین اندازه بلورکها (ویلیامسون هال) توسط روش پراش پرتوایکس (XRD، دستگاه مدل Rigaku) ساخت کشور ژاپن) انجام شد. (۲۰=۸۰-۱۰). آنالیز طیف‌سنجی مادون قرمز (Shimadzu, 8400s, FTIR)، دستگاه (FESEM Tescan model mira) در محدوده ۴۰۰-۴۰۰۰ cm^{-1} به منظور شناسایی گروههای شیمیایی موجود در ساختار بکار برده شد. بررسی ریزساختار و مورفولوژی ذرات توسط میکروسکوپ الکترونی روبشی-گسیل میدانی (FESEM Tescan model mira) انجام شد و در نهایت رفتار مغناطیسی نمونه‌ها توسط دستگاه مغناطیس‌سنج نمونه مرتعش (VSM، دستگاه مدل MDK6 ساخت شرکت مغناطیس دقیق کویر) بررسی شد.

۲- نتایج و بحث

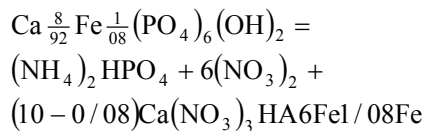
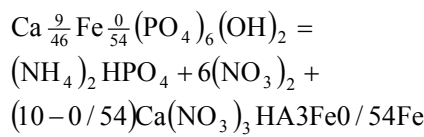
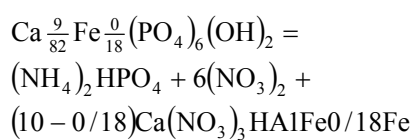
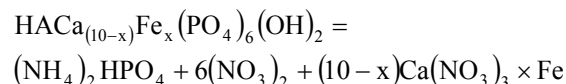
با بررسی پیک‌های موجود در شکل ۱، در هیچ‌کدام از

به دست آمده به مدت ۲۴ ساعت در دمای 80°C خشک شد و با هاون کاملاً به پودر تبدیل شد. از آنجا که آپاتیت‌های تهیه شده از محلول‌های کاملاً قلیایی حاوی CO_2 بوده و در دماهای بالای 900°C مستعد به تشکیل اکسید کلسیم (CaO) هستند [8] دماهای کلسیناسیون کمتر از این مقدار انتخاب شد. در 800°C نیز فازهای جانبی به علت ساختار بهم ریخته‌ی هیدروکسی آپاتیت پدید آمدند. لذا در انتهای به منظور کلسینه کردن و بررسی پایداری حرارتی، نمونه‌ها در دماهای 550°C ، 650°C و 700°C به مدت ۲ ساعت با نرخ گرمایش $10^{\circ}\text{C}/\text{min}$ در کوره قرار گرفتند.

جدول ۱- کدگذاری نمونه‌ها

نمونه‌ها	HA9Fe	HA6Fe	HA3Fe	HA1Fe	HA	درصد وزنی آهن
	9	6	3	1	0	

در جدول ۱ اعداد نشان‌دهنده درصد وزنی آهن در ساختار هستند. در معادلات زیر x نشان‌دهنده درصد اتمی است.

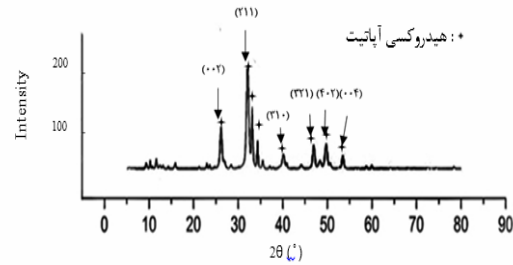




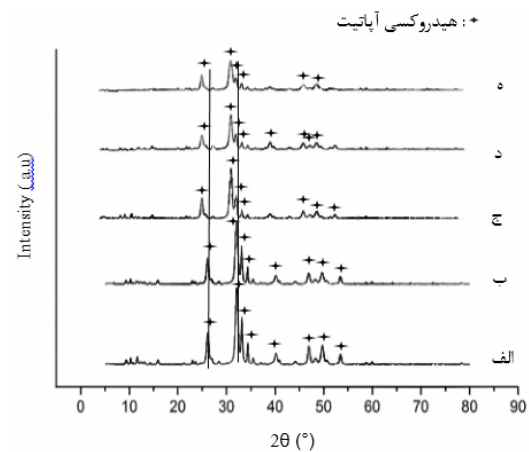
با بررسی الگوهای پراش در شکل ۲ ملاحظه می‌شود که با افزایش درصد آهن در نمونه‌ها شدت پیک‌ها کم شده، پیک‌ها پهن‌تر شده و موقعیت آن‌ها به سمت چپ انتقال پیداکرده است. با افزایش آهن و وارد شدن آن به درون شبکه هیدروکسی آپاتیت تعداد اتم‌های کلسیم کمتر می‌شود، ساختار نظم ایده آل خود را ازدستداده و از درجه بلورینگی آن کاسته می‌شود. نظم آن به هم می‌ریزد و میزان اعوجاج در آن افزایش می‌یابد. علت این بی‌نظمی شعاع کوچک یون آهن (۶۴ آنگستروم) نسبت به یون کلسیم (۹۹ آنگستروم) است که سبب کرنش و انقباض در ساختار می‌شود. بلورینگی نمونه‌ها کم است و با افزایش مقدار آهن کاهش می‌یابد که این می‌تواند ناشی از به‌هم ریختگی ساختار در اثر حضور آهن باشد در نتیجه ساختار منقبض می‌شود. از طرف دیگر یون آهن سه بار مثبت دارد درحالی که یون کلسیم دو ظرفیتی می‌باشد که سبب می‌شود ساختار با عدم تعادل بار مواجه باشد که منجر به تشکیل عیوب در شبکه می‌شود.

به‌منظور بررسی تأثیر حرارت بر پایداری هیدروکسی آپاتیت حرارت‌دهی در دماهای ۶۵۰ و ۷۰۰ درجه سانتی‌گراد انجام شد. نتایج پراش اشعه ایکس در شکل‌های ۳ و ۴ آورده شده است.

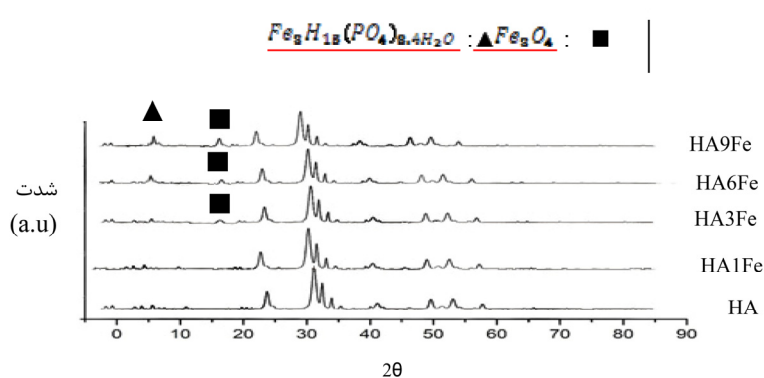
نمونه‌های از حضور فاز ثانویه نبود و تنها فاز هیدروکسی آپاتیت مشاهده گردید. (JCPDS file no.09-0432)



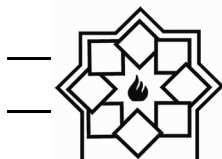
شکل ۱- طیف پراش پرتو ایکس از نمونه هیدروکسی آپاتیت خالص (HA)



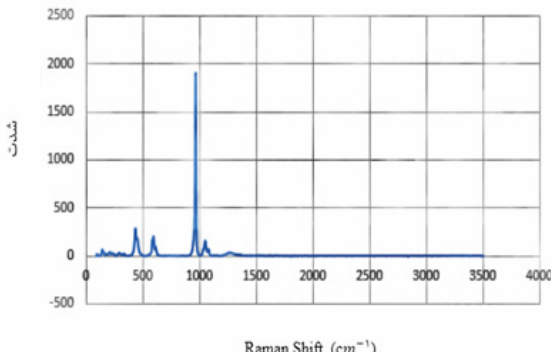
شکل ۲- الگوهای XRD از نمونه‌های هیدروکسی آپاتیت سنتز شده با جایگزینی آهن پس از کلسینه شدن در دمای ۵۵ درجه سانتی‌گراد (الف) HA خالص (ب) HA1Fe (ج) HA9Fe (د) HA6Fe (ه) HA3Fe



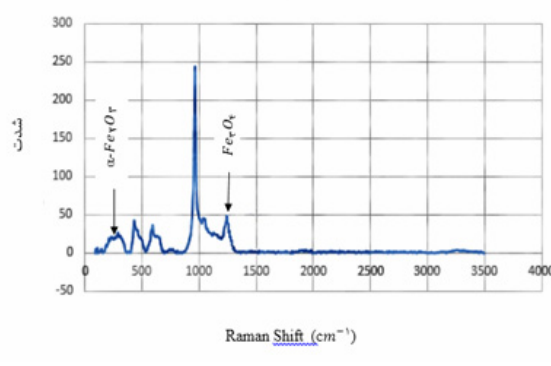
شکل ۳- الگوی XRD از نمونه‌های HA9Fe، HA6Fe، HA3Fe، HA1Fe، HA کلسینه شده در ۶۵۰ درجه سانتی‌گراد



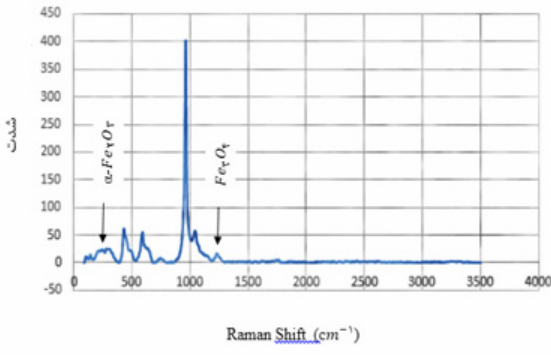
خالص را نشان می‌دهد



شکل ۵- نمودار رامان برای نمونه HA



الف

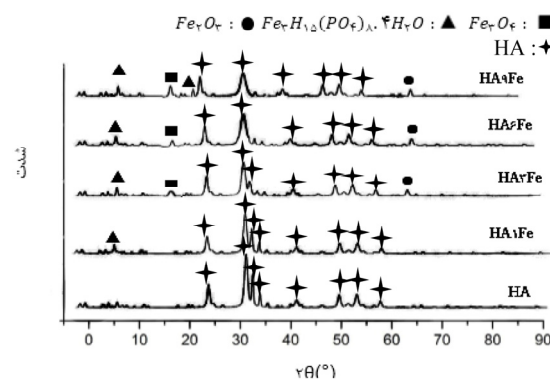


ب

شکل ۶- طیف رامان برای نمونه‌های HA9Fe (الف) و HA6Fe (ب)

نمونه‌های HA1Fe و HA3Fe نیز طیف‌های مشابه

در نمونه HA9Fe فاز $\text{Fe}_3\text{H}_{15}(\text{PO}_4)_8 \cdot 4\text{H}_2\text{O}$ مشاهده گردید. این ترکیب جدید نشان‌دهنده تمایل آهن برای واکنش با گروه فسفات و هیدروژن است. در نمونه HA3Fe و HA6Fe مقداری Fe_3O_4 دیده می‌شود. در نمونه‌های HA9Fe و HA6Fe نیز این فاز ملاحظه شده و مقدارش به تدریج افزایش یافته است. وجود این فاز به علت تمایل بیشتر اتم‌های آهن برای ترکیب با اکسیژن در محیط اکسیدی می‌باشد. این فاز به ماده‌ی ما خاصیت مغناطیسی می‌بخشد.



شکل ۴- الگوی XRD از نمونه‌های HA1Fe، HA، HA9Fe و HA6Fe، HA3Fe کلسینه شده در ۷۰۰ درجه سانتی‌گراد

پس از کلسیناسیون در ۷۰۰ درجه سانتی‌گراد فاز هماتیت در

دو نمونه HA9Fe و HA6Fe به وجود می‌آید. فاز Fe_3O_4 در هر چهار نمونه و فاز $\text{Fe}_3\text{H}_{15}(\text{PO}_4)_8 \cdot 4\text{H}_2\text{O}$ در نمونه‌های HA9Fe، HA6Fe، HA3Fe و HA1Fe ملاحظه گردید. در این دما تمایز هیدروکسی آپاتیت و کلسیم فسفات $\text{Ca}_4\text{P}_2\text{O}_9$ مشکل است زیرا پیک‌ها با هر دو فاز همخوانی دارند اما به علت کمبود گروه‌های هیدروکسیل و فسفات تصور می‌شود فاز موجود نوعی کلسیم فسفات باشد. شکل ۵ طیف رامان برای نمونه هیدروکسی آپاتیت

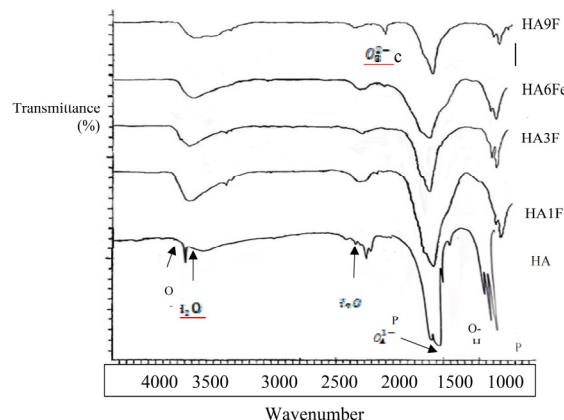


نمونه HA6Fe پیک 962cm^{-1} و در نمونه HA9Fe پیک‌های 962cm^{-1} و 904cm^{-1} ظاهر می‌شوند که این پیک‌ها نیز مربوط به گروه فسفات می‌باشند. در نمونه HA9Fe یک پیک در 873cm^{-1} ظاهر می‌شود که می‌تواند مربوط به گروه کربنات جایگزین شده به جای PO_4^{3-} باشد که در این صورت کربنات از نوع β است. وجود پیکی که نشان‌دهنده HPO_4^{2-} باشد، مشاهده نگردید. پیک‌های به دست آمده در محدوده $1384\text{--}1645\text{cm}^{-1}$ مربوط به گروه‌های کربنات است. یک پیک پهنه در محدوده $3000\text{--}3568\text{cm}^{-1}$ وجود دارد که در نمونه‌های مختلف محدوده‌ی آن متفاوت است و هر چه غلظت افزایش می‌یابد این قسمت پهن‌تر شده و پیک‌های ظاهرشده در آن افزایش می‌یابد. این پیک پهن مربوط به گروه‌های آب موجود در نمونه‌ها می‌باشد که می‌توان علت آن را روش سترن نمونه‌ها دانست و همین‌طور ممکن است نمونه‌ها از محیط اطراف آب جذب کرده باشند. [9-10] با افزایش غلظت آهن بلورینگی به طور کلی کاهش می‌یابد که مطابق با نتایج XRD است.

تصاویر میکروسکوپ الکترونی روبیشی نمونه HA3Fe و HA9Fe در شکل ۸ نشان داده شده است. با افزایش آهن اندازه بلورک‌ها تا حدودی کوچک‌تر شده است. از آنجا که شعاع یونی Fe^{3+} کوچک‌تر از شعاع یونی Ca^{2+} است، این جایگزینی سبب کاهش اندازه پارامتر شبکه می‌شود، شبکه دچار انقباض می‌شود و بلورک‌ها کوچک‌تر می‌شوند. این نتیجه در تطابق کامل با نتایج XRD است. محدوده اندازه بلورک‌ها زیر 100 نانومتر می‌باشد. در همه نمونه‌ها توزیعی گستردۀ‌ای در محدوده 30 تا 100 نانومتر ملاحظه گردید. در همه نمونه‌ها آگلومراسیون شدید ملاحظه می‌شود.

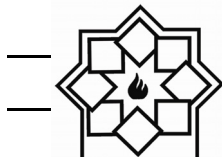
خالص دارند. در شکل ۶ الف و ب برای دو نمونه‌ی HA6Fe و HA9Fe پیک‌های جدیدی پدید آمد که به صورت پیوسته در شکل مشخص می‌باشند. با بررسی‌های بیشتر مشخص شد این پیک‌ها در $224\text{--}295\text{cm}^{-1}$ شدت بیشتری دارند که مطابق با پیک‌های هماتیت است. در این دو نمونه شدت پیک‌های هیدروکسی آپاتیت کم شده است. در دو نمونه HA6Fe و HA9Fe پیک‌های $1330\text{--}1348\text{cm}^{-1}$ واحی دارند که در شکل ۷ نشان داده شده است. این پیک‌ها نشان‌دهنده Fe_3O_4 می‌باشند.

نتایج طیف‌سنجی مادون‌قرمز در شکل ۷ نشان داده شده است.

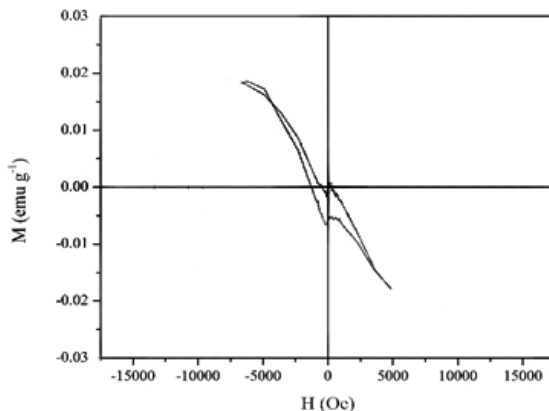


شکل ۷- طیف FTIR پودرهای سنتز شده در 550 درجه سانتی‌گراد

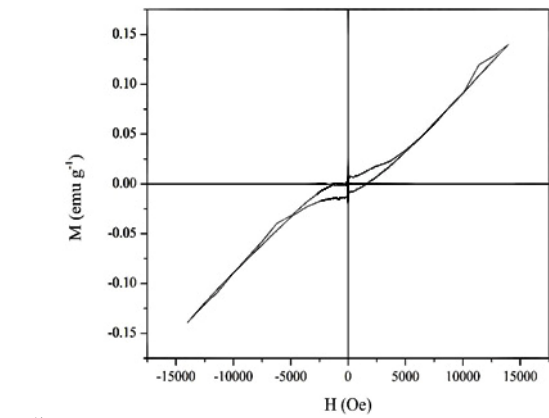
پیک‌های 563cm^{-1} و 601cm^{-1} که در همه‌ی نمونه‌ها ظاهر شده‌اند، مربوط به حرکات خمسی پیوندها در گروه فسفات هستند و پیک‌های موجود در 1037cm^{-1} ، 1035cm^{-1} و 1033cm^{-1} مربوط به حرکات کششی گروه فسفات‌ها هستند. در نمونه HA1Fe پیک جدیدی ظاهر نشده است فقط از شدت پیک‌های قبلی کاسته شده است و پیک‌ها پهن‌تر شده‌اند. در نمونه HA3Fe نسبت به نمونه HA1Fe از شدت پیک‌ها کاسته شده و پهنای آن اندکی افزایش یافته است. در غلظت‌های بالاتر Fe یعنی



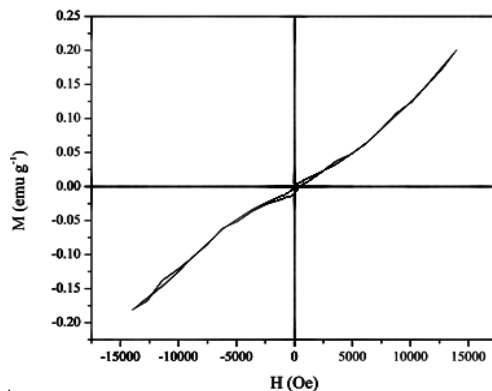
در تحقیق حاضر دستگاه VSM برای اندازه‌گیری خاصیت مغناطیسی نمونه‌ی خالص HA و نمونه‌های HA6Fe و HA9Fe استفاده شد.



شکل ۱۰ - VSM از نمونه HA

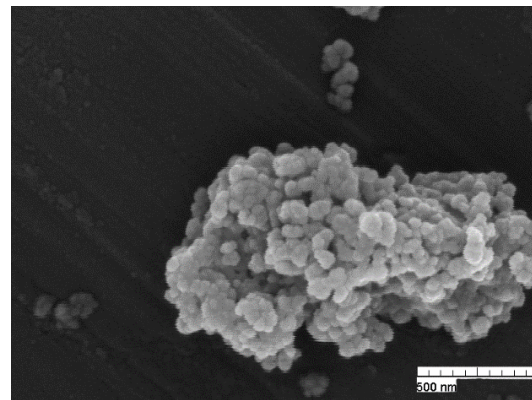


الف

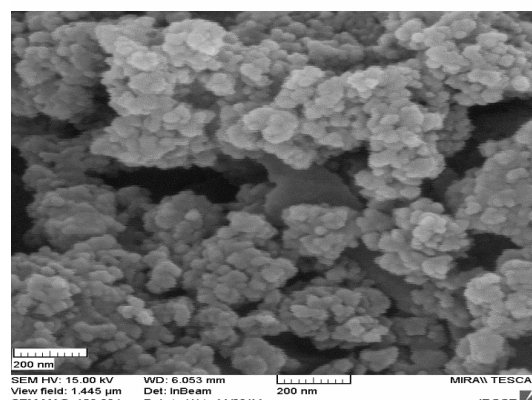


ب

شکل ۱۱ - VSM از نمونه‌های HA6Fe (الف) و HA9Fe (ب)

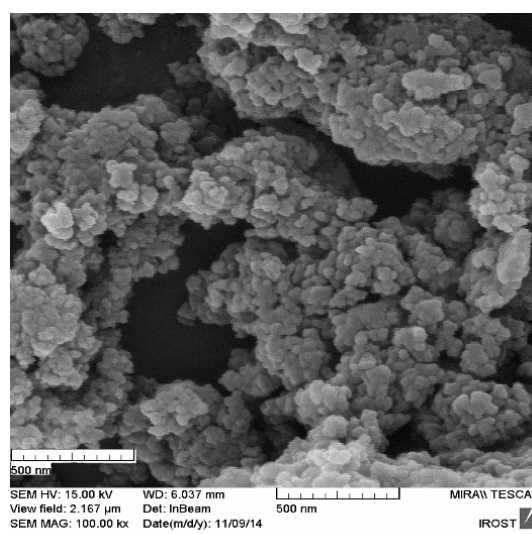


الف



ب

شکل ۸ - تصاویر FESEM از نمونه‌های HA (الف) و HA (ب)



شکل ۹ - تصویر FESEM از نمونه HA9Fe



اندازه ذرات زیر ۱۰۰ نانومتر است. با افزایش آهن نمونه‌ها رفتار پارامغناطیس از خود نشان دادند. آنالیز رامان وجود فازهای مگنتیت و هماتیت را برای دو نمونه HA6Fe و HA9Fe نشان داد.

مراجع

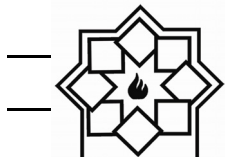
- [1] P. N. De Aza, F. Guitan, A. Merlos, E. Lora-Tamayo, and S. De, " Bioceramics-Simulated Body Fluid Interfaces : pH and Its Influence of Hydroxyapatite Formation", material medicine, vol 7, pp399-402, 1996
- [2] B. Cengiz, Y. Gokce, N. Yildiz, Z. Aktas, A. Calimli, "Synthesis and Characterization of Hydroxyapatite Nanoparticles," Colloid Surface, vol. 32, pp. 29-33, 2008
- [3] M. Wakamura, K. Kandori, Tatsuo Ishikawa, "Surface structure and composition of calcium hydroxyapatites substituted with Al(III), La(III) and Fe(III) ions," Colloids and Surfaces, vol. 164, pp. 297-305, 200
- [4] ع. قبری، "درمان هدفمند سرطان با نانوذرات مغناطیسی"، ستاد ویژه توسعه فناوری نانو، صفحه ۱۳۹۳، ۱۲-۱
- [5] JH Beattie, A Avenell, "Trace Element Nutrition And Bone Metabolism," Nutrition Research Review, vol. 5, pp. 167-188, 1992
- [6] Y. Li, Chai T. Nam, Ch. P. Ooi, "Iron(III) and manganese(II) substituted hydroxyapatite nanoparticles: characterization and cytotoxicity analysis," Conference Series, vol. 187, 2009.
- [7] E. R. Kramer, A. M. Morey, M. Staruch, S. L. Suib, M. Jain, J.I. Budnick, M. Wei, "Synthesis and characterization of iron-substituted hydroxyapatite via a simple ion-exchange procedure" Materials Science and Engineering, 48, 665-673, 2013

همان طور که در شکل ۱۰ مشخص است شب منحنی M-H منفی است لذا نمونه‌ی HA دیامغناطیس است. نمونه‌های HA به همراه آهن در حضور میدان از خود خاصیت پارامغناطیس نشان می‌دهند. با توجه به شکل ۱۱ شب منحنی‌های M-H برای نمونه‌های HA6Fe و HA9Fe مثبت است و با افزایش مقدار آهن مغناطش افزایش می‌یابد بطوریکه برای نمونه HAP9Fe به ۰/۲۰ می‌رسد. تصور می‌شود علت این پدیده پیوند یون‌های آهن با اکسیژن در ساختار هیدروکسی آپاتیت باشد. عدم تقارن شکل منحنی هیسترزیس حاکی از عدم توزیع یکنواخت یون آهن در ساختار است.

بر اساس نتایج VSM و رامان خاصیت مغناطیسی نمونه‌های HA3Fe و HA1Fe ناشی از پیوندهای Fe-O در ساختار می‌باشد و مغناطیسی شدن نمونه‌های HA6Fe و HA9Fe علاوه بر پیوندهای Fe-O ناشی از وجود فاز مگنتیت نیز می‌باشد. خاصیت پارامغناطیسی پودرهای هیدروکسی آپاتیت دوب شده با آهن در کارهای سایر پژوهشگران نیز به اثبات رسیده است. [11-12]

۳- نتیجه‌گیری

آنالیز فازی پودرهای سنتز شده با درصدهای مختلف آهن، در دمای 550°C تنها حضور هیدروکسی آپاتیت را نشان می‌دهد. با افزایش آهن بلورینگی نمونه‌های HA کم می‌شود و پایداری حرارتی کاهش می‌یابد. بطوریکه در 700°C ساختار HA به مقدار زیادی تبدیل به فازهای دیگر شده است و ترکیبات دیگری به وجود می‌آید. در تصاویر FESEM آگلومراسیون شدید ملاحظه می‌شود و محدوده



- [8] M. Motskin, D. M. Wright, K. Muller, N. Kyle, T. G. Gard, A.E. Porter, J. N. Skepper, "Hydroxyapatite Nano and Microparticles: correlation of particle properties with cytotoxicity and biostability," *Biomaterial*, vol. 30, pp. 3307-3317, 2009.
- [9] G. A. Gamal, F. A. Al-Mufadi, A. H. Said "Effect of Iron Additives on the Microstructure of Hydroxyapatite," *ETASR*, vol. 6, pp. 532-539, 2013
- [10] K.A. Gross, R. Jackson, J. D. Cashion, L.M.Rodriguez-Lorenzo "Iron Substituted Apatites: A Resorbable Biomaterial With Potential Magnetic Properties," *European Cells and Materials*, vol. 3, pp. 114-117, 2002.
- [11] V. Sarath Chandra, Ganga Baskar , R. V. Suganthi , K. Elayaraja , M. I. AhymahJoshy , W. SofiBeaulaR.Mythili , Ganesh Venkatraman, S. Narayana Kalkura , "Blood Compatibility of Iron-Doped Nanosize Hydroxyapatite and Its Drug Release," *Applied materials & interfaces*, vol. 4, p. 1200–1210, 2012
- [12] Y. Li, Ch. T. Nam, Ch. P. Ooi, "Iron(III) and manganese(II) substituted hydroxyapatite nanoparticles: characterization and cytotoxicity analysis," *ConferenceSeries*, vol. 187, 2009